

## ارزیابی غیرمخرب تازگی تخم مرغ با طیف‌سننجی UV-IR و تعیین تأثیرگذار ترین ناحیه طیفی

سامان آبدانان مهدیزاده<sup>۱\*</sup>، سعید مینایی<sup>۲</sup>، عزالدین مهاجرانی<sup>۳</sup>، محمدامیر کریمی ترشیزی<sup>۴</sup>

۱، استادیار گروه مکانیک ماشین‌های کشاورزی، دانشگاه کشاورزی، و منابع طبیعی رامیم خوزستان

۲، دانشیار گروه مکانیک ماشین‌های کشاورزی، دانشگاه تربیت مدرس تهران

۳، دانشیار گروه فیزیک، دانشگاه شهید بهشتی تهران

۴، استادیار گروه دام و طیور، دانشگاه تربیت مدرس تهران

(تاریخ دریافت: ۱۳۹۰/۱۲/۲۴ - تاریخ تصویب: ۱۳۹۱/۱۱/۱۷)

### چکیده

صنعت مدرن طیور به جای روش‌های سنتی فراوری و جابه‌جایی تخم مرغ مانند candling و بازرسی چشمی، به دنبال روش‌های جدیدتری است. هدف از این پژوهش، ارزیابی طیف‌سننجی UV-IR به منظور سنجش غیرمخرب تازگی تخم مرغ به عنوان جایگزینی برای روش‌های سنتی بازرسی است. برای بررسی گستره وسیعی از تغییرات در تازگی، گروه‌های متشکل از  $10 \pm 7^{\circ}\text{C}$ ،  $30 \pm 4^{\circ}\text{C}$  و  $40 \pm 2^{\circ}\text{C}$  درصد RH بهم‌dest مدت ۳۰ روز ذخیره شدند. اندازه‌گیری‌های طیفی در برابر سه پارامتر مخرب سنجش تازگی (pH، HU Haugh units و YC ضرب زرده) قرار داده شدند. روش‌های PLSR و PCR به منظور پیش‌بینی pH سفیده تخم مرغ، و YC براساس داده‌های طیفی استفاده شد. مقدار ضریب تعیین خطای پیش‌گویی در روش PLSR برای HU، pH، YC، و pH سفیده به ترتیب  $0.88 \pm 0.08$ ،  $0.86 \pm 0.07$  و  $0.78 \pm 0.07$  است. روش PCR (برای HU، YC، pH) سفیده به ترتیب  $0.64 \pm 0.04$ ،  $0.62 \pm 0.04$  و  $0.41 \pm 0.03$  است. این نتایج بیانگر توانایی پیش‌بینی داده‌های طیفی است. در ضمن بیشتر اطلاعات طیفی در بازه  $510\text{-}820\text{ nm}$  قرار دارد. نتایج همچنین نشان داد که طیف‌سننجی UV-IR در ارزیابی کیفیت درونی و تازگی تخم مرغ روش موفقی است.

**کلیدواژگان:** ارزیابی غیرمخرب، شاخص‌های کیفیت و تازگی تخم مرغ، ناحیه طیفی تأثیرگذار.

### مقدمه

مادر، ترکیبات غذایی و میزان مصرف آب، شرایط محیطی، وجود بیماری است (Sekeroglu & Altuntas, 2009). بلافاصله بعد از تخم‌گذاری، فرایند زوال (تغییرات شیمیایی و پیزگی‌های عملکردنی غذا) تخم مرغ با تولید گاز CO<sub>2</sub> که سبب تغییر pH می‌گردد، آغاز می‌شود. روند زوال سفیده در خلال انبارداری بسیار به شرایط نگهداری (دما و رطوبت نسبی) و پیزگی‌های پوسته بستگی دارد. زمان انبارداری عموماً برای تشخیص تخم مرغ تازه و تخم مرغ مناسب برای مصرف کننده، استفاده می‌شود. البته با توجه به موارد ذکر شده نمی‌توان فقط به تعداد روزهای پس از تخم‌گذاری اعتماد کرد (Rossi *et al.*, 1999). از این‌رو شاخص‌های شیمیایی که در خلال انبارداری تغییر می‌کنند، به عنوان توصیف‌گر تازگی تخم مرغ در نظر گرفته شده‌اند (Anton *et al.*, 2003).

در گذشته روش‌های متعددی برای ارزیابی کیفیت سفیده و زرده استفاده می‌شده است که می‌توان آن‌ها را به دو روش مخرب و غیرمخرب تقسیم کرد. مزیت روش‌های مخرب این است که اندازه‌گیری‌ها، مستقیماً درمورد سفیده صورت می‌گیرد.

استفاده از تخم مرغ - این بسته غذایی کامل - به صورت مستقیم و غیرمستقیم بسیار گسترش یافته است. به همین سبب کیفیت آن از اهمیت بالایی برخوردار است. مفهوم کیفیت تخم مرغ پیچیده است و شامل اندازه تخم مرغ، رنگ و کیفیت پوسته، شکل تخم مرغ، کیفیت داخلی، و همچنین نفایضی مانند لکه خون و تکه‌های گوشت می‌شود. کیفیت سفیده و پیزگی مهمی برای خواص ارگانولوپتیک<sup>۱</sup> و ساختار تخم مرغ و فراوری در مرحله بعدی است. به علاوه کیفیت سفیده را می‌توان شاخص تخم مرغ تازه (سفیده آبکی) می‌تواند ناشی از هجوم باکتری‌ها باشد (Seregely *et al.*, 2006). کیفیت سفیده تخم مرغ‌های گوناگون بسیار متفاوت است. حتی در لحظه تخم‌گذاشتن نیز اختلاف زیادی وجود دارد. عوامل متفاوتی بر کیفیت اولیه سفیده مؤثرند که شامل ژنتیک<sup>۲</sup>، سن، اندازه بدن، نژاد مرغ

\* نویسنده مسئول: minaee@modares.ac.ir

1. Organoleptic  
2. Genotype

روش‌ها، سریع و دقیق نیستند. به کارگیری طیف‌سنجی مرئی-فروسرخ (Vis-IR)، توانایی بالایی برای بدست‌آوردن اطلاعاتی درباره اجزای شیمیایی محصولات دارد. از این روش طیف‌سنجی برای اندازه‌گیری‌های فوری به منظور تعیین کیفیت محصولات گوناگون کشاورزی هم در مقیاس آزمایشگاهی و هم در فراوری on-line استفاده شده است. ازان جمله می‌توان به طیف‌سنجی NIR و تصویربرداری برای سنجش کیفیت و اینمی مواد غذایی Wang & Paliwal, (2006; Ariana et al., 2006; Lu et al., 2006; Moons et al., 2000; Park et al., 2003) اندازه‌گیری برخی از ویژگی‌های فیزیکی میوه‌ها مانند سختی (2007)، اندازه‌گیری برخی از ویژگی‌های شیمیایی مانند مواد جامد محلول (Moons et al., 2000; Park et al., 2003) اشاره کرد. با وجود تحقیقات گسترده در زمینه محصولات بافی، به کارگیری این روش‌ها در ارزیابی کیفیت تخم مرغ محدود است. استفاده از طیف‌سنجی NIR برای تعیین تازگی تخم مرغ به‌وسیله Norris (1996) مطالعه شد. در این تحقیق زمان انبارداری تخم مرغ به چند ساعت محدود شده است. Schmilovitch et al. (2002) طیف عبوری NIR (۱۱۰۰-۲۵۰۰ nm) را در تخم مرغ اندازه‌گیری کردند. نتایج تحقیق نشان داد که مدت نگهداری (تعداد روز بعد از تخم‌گذاری)، اندازه محفظه‌ها، و کاهش وزن را می‌توان به خوبی با NIR اندازه‌گیری کرد ( $R^2 > 0.9$ ). این ضریب تعیین بالاست، ولی به تخم مرغی خاص ارتباط ندارد و به میانگین گروه‌ها اختصاص دارد. Bamelis (2003) عبور طیف مرئی را در تخم مرغ‌ها اندازه‌گیری و تغییرات بزرگی میان طیف‌های تک تخم مرغ‌ها در دسته‌ها مشاهده کرد. این تغییرات هم وابسته به ویژگی‌های درونی و ویژگی‌های پوسته گزارش شد. پتانسیل طیف مرئی فروسرخ عبوری به منظور ارزیابی تازگی تخم مرغ و خواص کیفی سفیده در مطالعات گوناگونی بررسی شده است (Kemps et al., 2006; Liu et al., 2007). اما، وجود مقدار زیادی آب در تخم مرغ در این طیف‌سنجی محدودیت بزرگی در تعبیر مولکول‌های اطراف زرده و سفیده به شمار می‌آیند. یقیناً، میزان آب زیاد موجود در تخم مرغ به طور عمده‌ای در میزان پراکنش نور و تداخل میان جذب باند آب و ناحیه‌ای که ویژگی‌های طیفی مهم از دیگر اجزای شیمیایی دارد، مؤثر است (Williams & Norris 2001).

هدف از این پژوهش بررسی چگونگی ارتباط میان طیف عبوری در محدوده (۱۱۰۰-۲۰۰۰ nm) و پارامترهای شیمیایی مخرب برای تخم مرغ سالم و پیشگویی تازگی آن است. در این روش میان اندازه‌گیری‌های غیرمخرب طیفی با ۳ پارامتر مخرب متداول برای سنجش تازگی یعنی HU، pH و سفیده تخم مرغ، و

البته تخم مرغ‌ها باید شکسته شوند، از این‌رو، آزمایش برای تعداد محدودی از آن‌ها امکان‌پذیر است. گستردگرترین و مناسب‌ترین روش ارزیابی سفیده (HU) است. HU براساس هر دو عامل وزن تخم مرغ دست‌نخورده و ارتفاع سفیده تخم مرغ شکسته شده است. در این روش زمانی که تخم مرغ تازه روی سطحی صاف بادقت شکسته شود، زرده در مرکز با سفیده ضخیم احاطه می‌شود. اما در صورتی که تخم مرغ مانده شکسته شود، زرده معمولاً در وسط نیست و به سمتی متمایل است. در ضمن سفیده نازک‌تر می‌شود که نتیجه‌اش گسترش ناحیه سفیده است که کاهش ارتفاع آن و متعاقباً کاهش HU را در پی دارد (Kemps et al., 2006). در روش غیرمخرب، ویژگی‌های وابسته به سفیده و زرده در تخم مرغ سالم<sup>1</sup> اندازه‌گیری می‌شود و این عمل روی خط تولید و به صورت on-line برای همه تخم مرغ‌ها به کمک روش‌های متفاوت غیرمخرب مانند طیف‌سنجی امکان‌پذیر است. افزون بر آن کنترل کیفیت سفیده تضمینی برای کیفیت محصولات غذایی مرتبط با آن است (Dutta et al., 2003).

#### مقدمه

نخستین کاربرد روش‌های نوری در تخم مرغ، تشخیص لکه خون (متداول‌ترین نقص در تخم مرغ) بود و ساده‌ترین روش استفاده شده به صورت گستردگی candling است. از جمله موارد دیگر کاربرد این روش، ارزیابی حرکت زرده است که به عنوان شاخصی برای گرانزوی سفیده در تخم مرغ به شمار می‌آید. به کمک این روش، Tsarenko (1973) با استفاده از photo-element و گالوانومتر، می‌توان درجه قابلیت حرکت زرده را تخمین زد. در پژوهشی دیگر Lastinger & McLendon, (1976) دریافتند که استفاده از خواص نور عبوری از تخم مرغ (۸۰۰-۴۵۰ nm) تشخیص ترک را در خلال آزمایش فشار هوا بیشتر آشکار می‌سازد. Narushin (1997) برخی از روش‌های غیرمخرب موجود را آزمایش کرد. نتایج تحقیق نشان داد که هدایت الکتریکی سفیده شاخصی برای تعیین کیفیت درونی تخم مرغ است. Campo et al. (2000) از تغییرات اندازه محفظه هوا برای تخمین تازگی تخم مرغ استفاده کردند. Schwagele et al. (2001) به کمک طیف‌سنجی NMR با وضوح پایین کیفیت‌سنجی درون تخم مرغ را انجام دادند. در این روش، طیف‌سنجی در دو جهت طولی و عرضی صورت گرفت که آسایش جانبی<sup>2</sup> در هفته اول انبارداری در تمام دمایها به صورت نمایی کاهش پیدا کرد. روش‌های فوق خلاصه‌ای از تکنیک‌های غیرمخرب به منظور ارزیابی کیفیت سفیده بوده‌اند، اگرچه این

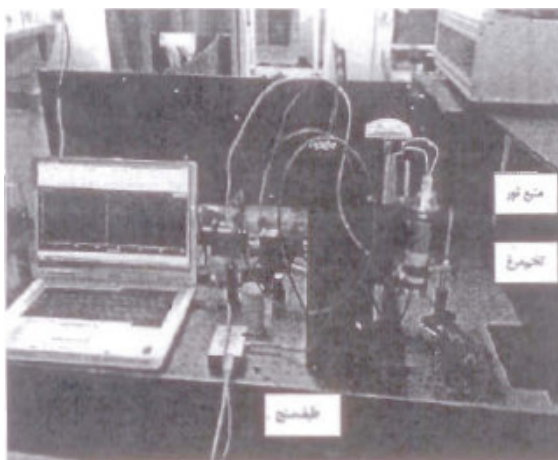
1. Intact Egg

2 Transversal Relaxation

میانگین به دست آمده، ثبت گردید. برای تعیین استحکام پوسته، از دستگاه تعیین نیروسنجد Force Gauge model II Robotmation - Japan استفاده گردید.

#### طیفسنجی UV-IR

دستگاه طیفسنجی UV-IR USB2000 Fiber Optic (مدل Spectrometer ساخت شرکت Ocean Optics) برای به دست آوردن طیف‌های UV-IR استفاده شد. شکل ۱ سامانه استفاده شده برای اندازه‌گیری طیف عبوری را نشان می‌دهد. تخم مرغ روی حلقه‌ای اسفنجه در مقابل منبع نور (halogen lamp, Osram HLX 64 635, 150W) قرار می‌گیرد. فیبر نوری زیر تخم مرغ جایگزین می‌شود، نور عبوری از آن را به طیفسنج انتقال می‌دهد. از این طریق، فقط نور عبوری از درون تخم مرغ به آشکارساز زیر تخم مرغ می‌رسد. طیفسنج دارای طول موج از ۱۱۰۰-۲۰۰۰ nm با دقت در حد نانومتر است. بهمنظور جلوگیری از بهأشباع رسیدن طیفسنج از دیمیر برای تنظیم شدت لامپ استفاده شد. زمان اندازه‌گیری ۲۵۰ ms و طول موج به دست آمده میانگینی از ۵ تکرار است. بهمنظور تعیین بهتر کیفیت داخلی جسم مرجع، پوسته تخم مرغ در نظر گرفته شد و بعد از هر اندازه‌گیری طیف‌های به دست آمده از طیف عبوری پوسته تفریق گردید که این عمل سبب به دست آوردن پیک‌های تیزتر با بزرگی بیشتر شد.



شکل ۱. سامانه طیفسنجی تخم مرغ

#### عملیات ریاضی روی داده‌ها

به منظور تصحیح داده‌های طیفسنجی تعیین مقیاس و جابه‌جاشدگی از تصحیح پراکندگی فرایند<sup>1</sup> (MSC)، تغییرات در تخم مرغ به سبب تفاوت

2. Multiplicative Scatter Correction

ضریب زرده، ارتباط برقرار می‌گردد. با این تفاوت که در تحقیقات گذشته یا تخم‌مرغ‌ها شکسته می‌شدند که روش مناسب نیست (Karoui *et al.*, 2006 a, b) یا از روش‌های ساده آماری مانند رگرسیون خطی بدقت بسیار پایین استفاده می‌شد (Liu *et al.*, 2007).

#### مواد و روش‌ها

##### بررسی کیفیت تخم مرغ

برای این منظور ۱۰۰ عدد تخم مرغ در دمای  $7^{\circ}\text{C}$  و رطوبت  $25\pm 4$  درصد نگهداری در روزهای ۱، ۴، ۷، ۱۰، ۱۳، ۱۶، ۲۱، ۲۵، ۲۹ آزمایش شدند. این شرایط مشابه وضعیت نگهداری تخم مرغ در ایران در طول دوره تابستان است. هر روز ۱۰ نمونه بعد از طیفسنجی، که شرح آن خواهد آمد، تحت آزمایش مخرب قرار گرفتند. وزن تخم مرغ، ضخامت، و مقاومت pH پوسته به عنوان سه فاکتور کیفیت خارجی تخم مرغ و HU، سفیده و زرده، و YC به عنوان فاکتورهای کیفیت درونی تخم مرغ تعیین شد.

##### بررسی کیفیت محتویات تخم مرغ

برای بیان کیفیت درونی از pH سفیده و زرده، و ضریب زرده<sup>1</sup> (رابطه ۱) استفاده شد. شاخص HU تا روز شانزدهم پس (Model 5200-Japan) egg multi tester از انبارمانی با دستگاه اندازه‌گیری شد. در روز نوزدهم سفیده ضخیم بسیار رقیق شد، به گونه‌ای که دستگاه egg multi tester قادر به خوشنده مقدار HU نبود. درنتیجه از رابطه ۲ برای محاسبه استفاده گردید.

(رابطه ۱)

$$\text{Yolk Coefficient} = \left( \frac{\text{Yolk weight}}{\text{Yolk height}} \right) \times 100$$

$$\text{Haugh Unit} = 100 \log_{10}^{(H-1.7W^{0.37}+7.6)} \quad (رابطه ۲)$$

که در آن H ارتفاع سفیده و W وزن تخم مرغ است. دستگاه Metrohm (827 pH Lab, UK) با دقت ۱ درصد برای اندازه‌گیری pH نمونه‌ها به کار گرفته شد.

##### اندازه‌گیری کیفیت خارجی تخم مرغ

برای تعیین ضخامت پوسته از دستگاه ضخامت‌سنج فرماحتوی استفاده شد (Echometer 1061-Japan). برای این منظور به دلیل اختلاف ضخامت بین قسمت‌های گوناگون پوسته، چهار قسمت پوسته (دو انتهای و دو قسمت وسط) اندازه‌گیری شد و

1. Yolk Coefficient (YC)

جدول ۱. نتایج تجزیه واریانس ویژگی‌های کیفی تخمرغ  
MS

اثر اصلی	آزادی	درجه	pH زرده	pH سفیده	وزن کل	وزن زرده	ارتفاع زرده
مدت نگهداری	۶		۰/۰۷ <sup>ns</sup>	۰/۲۵ <sup>**</sup>	۱۲۸/۱ <sup>**</sup>	۸/۸۶ <sup>ns</sup>	۳/۷۶ <sup>ns</sup>
			YC	ضخامت پوسته	مقاومت پوسته		
			۱۶۴۳/۳ <sup>**</sup>	۰/۱ <sup>ns</sup>	۲/۱۷ <sup>ns</sup>		

\*\* در سطح احتمال ادرصد و \* در سطح ۵ درصد معنی دار است. ns. معنی دار نیست.

جدول ۲. بررسی اثر زمان نگهداری بر pH سفیده، HU و YC براساس آزمون چندامنه‌ای دانکن ( $\alpha=0/05$ )

زمان نگهداری	pH سفیده	HU	YC
۱	۹/۰۷ <sup>c</sup>	۷۵/۱۶ <sup>a</sup>	۹۱/۵۴ <sup>a</sup>
۴	۹/۵۲ <sup>d</sup>	۴۸/۲ <sup>b</sup>	۷۹/۶۱ <sup>b</sup>
۷	۹/۶۰ <sup>c</sup>	۴۴/۴ <sup>b</sup>	۷۳/۲۵ <sup>b</sup>
۱۰	۹/۶۵ <sup>bc</sup>	۴۳/۸۲ <sup>b</sup>	۵۸/۷۰ <sup>c</sup>
۱۳	۹/۷۲ <sup>a</sup>	۳۶/۸۶ <sup>bc</sup>	۵۸/۱۸ <sup>c</sup>
۱۶	۹/۶۶ <sup>bc</sup>	۲۹/۲۵ <sup>c</sup>	۴۴/۱۰ <sup>d</sup>
۱۹	۹/۶۸ <sup>ab</sup>	۲۷/۲۲ <sup>c</sup>	۴۳/۳۶ <sup>d</sup>

براساس تجزیه واریانس و مقایسه میانگین داده‌های به دست آمده از آزمون‌های مخبر مشخص گردید که pH سفیده ارتفاع زرده، شاخص‌های HU و YC به صورت معنی‌داری با زمان تغییر می‌کنند (جدول ۱). درنتیجه این پارامترها را می‌توان به طور مؤثر در بررسی‌های غیرمخرب استفاده کرد.

همان‌گونه که در جدول (۲) مشخص است، روز اول انبارمانی برای هر ۳ شاخص (pH سفیده، HU و YC) شرایط ویژه‌ای داشت و دارای اختلاف معنی‌داری در مقایسه با سایر روزها است ( $P < 0.05$ ). و بقیه کیفیت تخمرغ‌ها روزهای ۷، ۴، ۱۰ گروه ۲ و روزهای ۱۳، ۱۶، و ۱۹ گروه ۳ را تشکیل می‌دهند که به ترتیب گروه کم‌کیفیت و بی‌کیفیت خوانده می‌شوند.

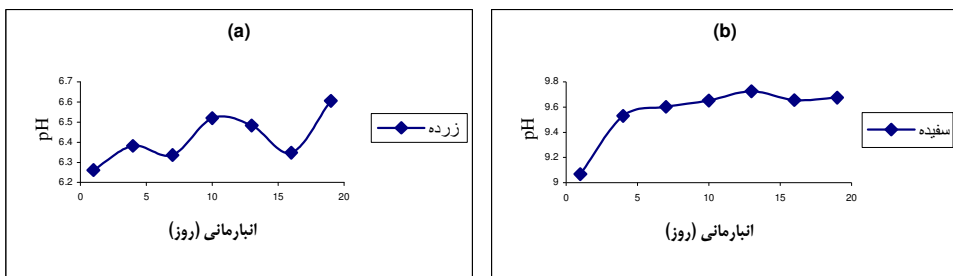
نمودارهای شکل ۲a و ۲b تغییرات pH در زرده و سفیده را بر حسب انبارمانی نشان می‌دهند. با توجه به نوسانات pH در زرده و ثابت‌گردیدن آن در سفیده، HU و YC تأثیرپذیرترین پارامترها در انبارمانی تخمرغ به شمار می‌آیند. درنتیجه بیشتر تحلیل‌های داده‌های طیفی به این دو پارامتر بستگی دارد. طیف‌های عبوری در ناحیه ۴۵۰-۲۰۰ nm و همچنین از ۱۱۰۰-۹۰۰ nm بدليل وجود نویز شدید، در تجزیه و تحلیل‌ها استفاده نشدن. پس از نرمال‌سازی داده‌ها با مقدار بیشینه و میانگین‌گیری ۱۰ نمونه در هر روز تا روز نوزدهم، طیف نمونه‌ها به صورت شکل ۳ درآمد.

در اندازه و ویژگی‌های پوسته SNV (Dhanoa *et al.*, 1994)<sup>1</sup> و کاهش داده‌های طیفی و استخراج مؤلفه‌های تحلیل از مؤلفه‌های اصلی (Haykin, 1999; Hu & Hwang, 2001) استفاده گردید.

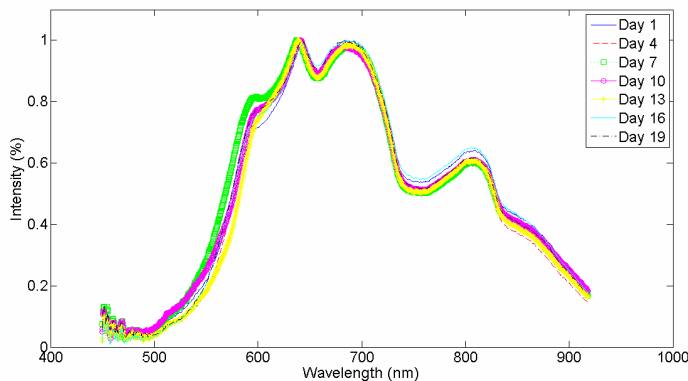
## نتایج و بحث

طیفسنجی و آزمون‌های مخبر تا روز شانزدهم پس از انبارمانی ادامه یافتند. در روز نوزدهم سفیده ضخیم بسیار رقیق شد به‌گونه‌ای که دستگاه egg multi tester قادر به خواندن (HU) Haugh Unit نبود. در ضمن ضخامت غشای نگهدارنده زرده بسیار نازک و حساس شده بود و هنگام شکستن تخمرغ‌ها حتی با دقت بسیار، براحتی از هم می‌گشست. این پدیده با توجه به جذب آب به‌واسیله زرده و ضعیف شدن غشای آن به‌دلیل افزایش pH تفسیرشدنی است (Heath, 1975). از این‌رو برای اندازه‌گیری HU از کولیس استفاده شد و با به‌کارگیری رابطه ۲ مقدار آن محاسبه گردید (AOAC, 1996). در روز بیست و دوم فقط ۲ عدد از تخمرغ‌ها پس از شکستن، حالت خود را حفظ کردند و زرده و سفیده آن‌ها با یکدیگر مخلوط نشد. روز بیست و پنجم اولاً به‌دلیل زوال بیش از حد تخمرغ‌ها و رقیق شدن سفیده و ثانیاً به‌دلیل ترکیدگی زرده اندازه‌گیری ضخامت سفیده غیرممکن بود. درنتیجه به‌ناچار اندازه‌گیری‌ها در این روز متوقف و گزارشات و تحلیل‌ها فقط روز نوزدهم پس از انبارداری ارائه گردید.

1. Standard Normal Variate.



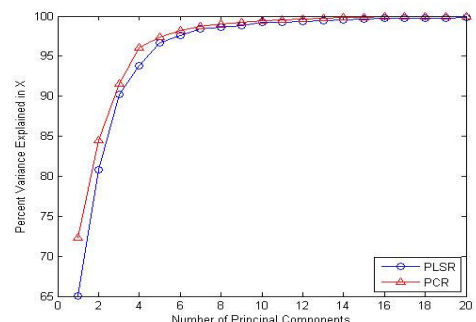
شکل ۲. تغییرات pH در زرده (a) و سفیده (b)



شکل ۳. هفت طیف عبوری از نمونه‌ها تا روز نوزدهم

همان‌گونه که در شکل ۴ مشخص است، پس از مؤلفه ۱۰ نمودار تقریباً همگرا شد و بیش از ۹۵ درصد واریانس داده‌ها را دارد.

واضح است که هر دو روش PLSR و PCR با تعداد مؤلفه‌های بیشتر جواب دقیق‌تری به دست می‌دهند، ولی تعداد مؤلفه‌های بیشتر در عمل سبب بیش‌برازش<sup>۳</sup> و تعداد کم آن‌ها سبب کم‌برازش<sup>۴</sup> می‌گردد. از این‌رو در عمل باید برای انتخاب تعداد مؤلفه‌های اصلی، دقت بیشتری صورت پذیرد، زیرا سبب بالارفتن صحت مدل می‌گردد. از روش‌های متداول در تعیین صحت مدل اعمالی و کارامدترین تعداد مؤلفه‌های اصلی، می‌توان به روش‌های cross-validation, bootstrap و hold-out اشاره کرد (Xiaobo *et al.*, 2007). از این روش‌ها به‌وفور در شیمی‌ستنجی استفاده می‌شود. با توجه به پژوهش‌های انجام‌شده تمامی روش‌های یادشده به یک جواب منتهی می‌شوند، با این تفاوت که روش cross-validation (که شامل روش‌های Monte-Carlo k-fold و Leave-One-Out است) در مقایسه با روش bootstrap دارای واریانس تئوری بالاتری است. این در حالی



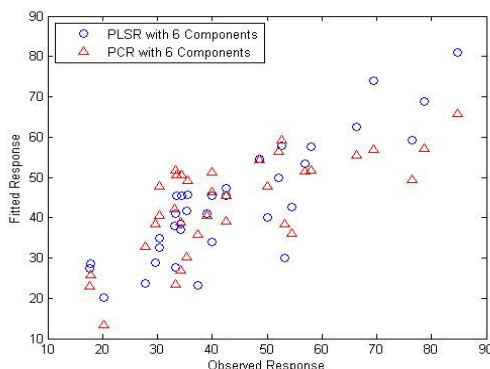
شکل ۴. نمودار ۲۰ مؤلفه اصلی بر حسب درصد واریانس داده‌ها به دو روش PCR و PLSR

طیف‌ها بعداز تصحیح با MSC و SNV، بهمنظور استخراج مؤلفه‌های اصلی به نرم‌افزار تدوین‌شده در فضای MatLab منتقل شدند. شایان ذکر است که در برنامه نوشته شده در فضای MatLab از دو روش PLSR<sup>1</sup> و PCR<sup>2</sup> استفاده گردید. راه ساده برای تعیین تعداد مؤلفه‌های اصلی، ترسیم نمودار مؤلفه‌های اصلی بر حسب درصد واریانس داده‌هاست. از این‌رو ۲۰ مؤلفه اصلی برای طیف‌های داده‌شده، استخراج گردیدند (شکل ۴).

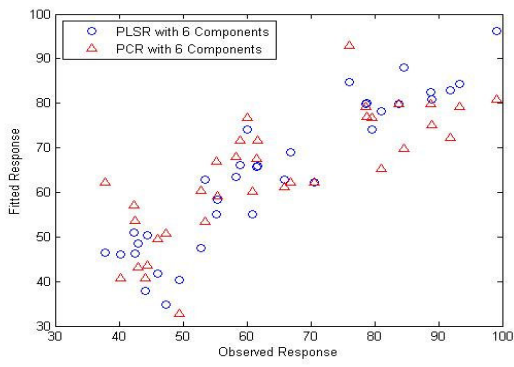
3. overfitting  
4. underfitting

1. Partial Least Squares Regression  
2. Principal Components Regression

مؤلفه اصلی برای ضریب زرد و HU به ترتیب ۲/۷ و ۲/۲ است که با توجه به پژوهش‌های فوق پذیرفتی است. به منظور کاهش عملیات و زمان محاسبات و با توجه به شکل ۶، شش مؤلفه اصلی که بیش از ۹۵ درصد واریانس را دارد، انتخاب شد و نمودار مقدار پیشگویی بر حسب پارامتر مشاهده شده، ترسیم گردید (شکل‌های ۴ و ۵).



شکل ۶. نمودار مقدار اندازه‌گیری شده بر حسب محاسبه شده برای HU شاخص



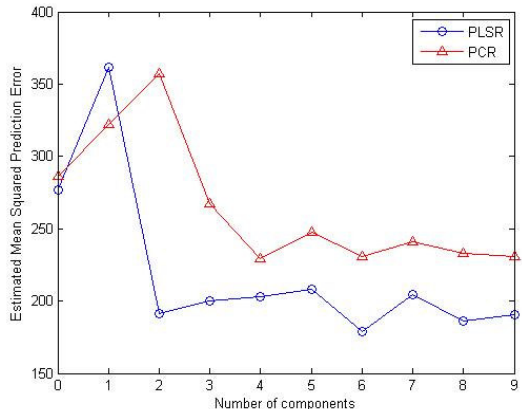
شکل ۷. نمودار مقدار اندازه‌گیری شده بر حسب محاسبه شده برای YC شاخص

همان‌گونه که در شکل‌های ۶ و ۷ مشاهده می‌شود، میزان پراکندگی داده‌ها در روش PCR از روش PLSR بیشتر است که این پراکندگی حاکی از ناتوانی روش PCR در پیشگویی دقیق داده‌ها است. البته این ضعف با مقدار  $R^2$  به دست آمده برای خطای مدل آن را تقویت می‌کند. این نتایج با نتایجی که در روش‌های PLSR و PCR به ترتیب ۰/۸۸ و ۰/۶۴ است برای HU و ۰/۶۲ و ۰/۸۶ برای YC بوضوح توجیه‌پذیر است و قدرت روش PLSR را در پیشگویی نشان می‌دهد. به رغم اینکه قدرت واریانس برای ۶ مؤلفه اصلی در روش PCR از روش PLSR بیشتر است (شکل ۴)، اما روش PLSR پیشگویی بهتری برای پارامتر مشاهده شده است. البته با توجه به اینکه در روش PCR فقط پارامتر اندازه‌گیری شده در نظر گرفته شده است و مقدار

است که زمان محاسبات در روش cross-validation طولانی‌تر است (Lendasse *et al.*, 2003). بنابراین روش cross-validation به دلیل واریانس بالاتر در اینجا استفاده شد.

#### تعیین تعداد مؤلفه‌های اصلی با روش cross-validation

با توجه به توضیحات فوق، بار دیگر به استخراج مؤلفه‌های اصلی پرداخته شد، ولی این‌بار از روش cross-validation و زیر مجموعه k-fold برای کارامدترین تعداد مؤلفه‌های اصلی کمک گرفته می‌شود. مقدار k در اینجا به روش آزمون و خطا و با توجه به کمترین خطای پیش‌بینی میانگین مربعات ( $MSEP^1$ ) انتخاب گردید. همان‌طور که در شکل ۵ مشخص است، ۶ مؤلفه اصلی خطای پیشگویی کمتری در مقایسه با دیگر مؤلفه‌های اصلی دارد. از این‌رو ۶ مؤلفه اصلی اول برای مدل پیشگو انتخاب می‌شوند. دیگر بار مشاهده می‌شود که مقدار خطای پیشگویی در روش PLSR از روش PCR بیشتر است



شکل ۵. نمودار تعداد مؤلفه‌های اصلی بر حسب MSEP برای YC

توانایی پیشگویی PLSR را می‌توان با RPD (نسبت عملکرد به انحراف<sup>۲</sup>) بررسی کرد. این ضریب از طریق تقسیم انحراف معیار بر RMSE پیشگویی به دست می‌آید (McGlone *et al.*, 2002) این در حالی است که Kemp *et al.* (2006) ضریب RPD حدود ۲ را برای HU و pH به دست آوردند. آن‌ها گزارش کردند که این عدد بدین معنی است که تخم مرغ‌ها را می‌توان به ۲ گروه مجزا تقسیم‌بندی کرد. از سوی دیگر Williams & Sobering (2008) Huang *et al.* (1993) و RPD(2008) دلیل پیشگویی مناسب می‌دانند. اما مطابق جدول ۱ مقدار RPD به دست آمده را می‌توان به عنوان شاخصی برای طبقه‌بندی HU نیز در نظر گرفت. مقدار RPD حاصل در پژوهش حاضر با ۶

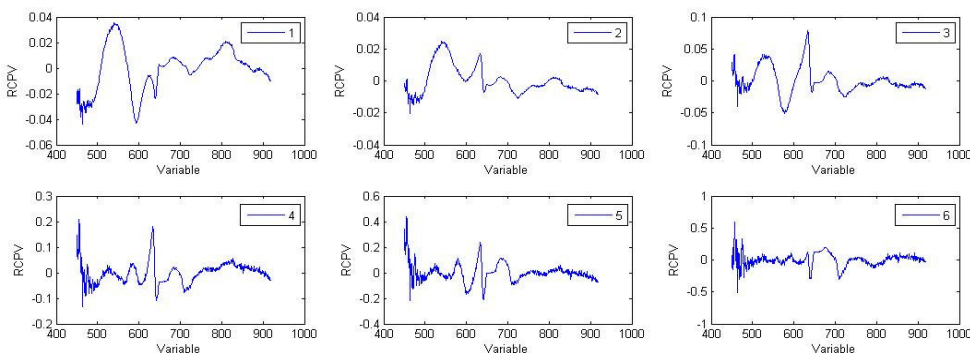
1. Mean squared prediction error

2. Ratio of Performance to Deviation (RPD)

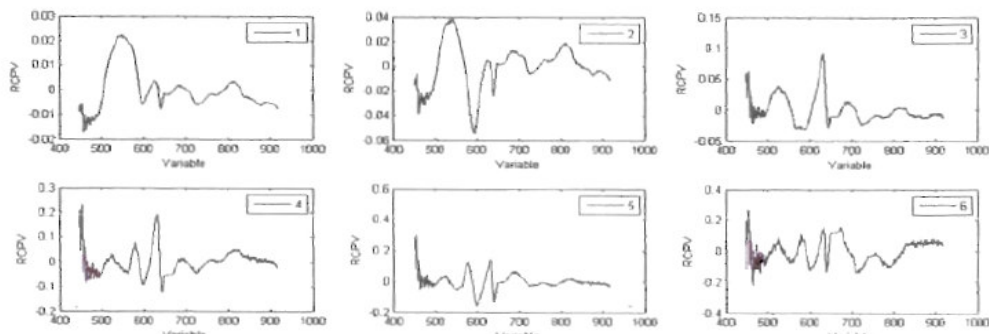
و PCR به ترتیب ۰/۷۸ و ۰/۴۱ است (شکل آن گزارش نشده است).

انتخاب ناحیه مؤثر بر ویژگی‌های کیفی تخم مرغ با استفاده از ضرایب رگرسیون در روش‌های PCR و PLSR می‌توان اطلاعات طیفی که حاوی بیشترین ارتباط با آزمون مخرب است را به دست آورد<sup>۱</sup> (شکل‌های ۸ تا ۱۱).

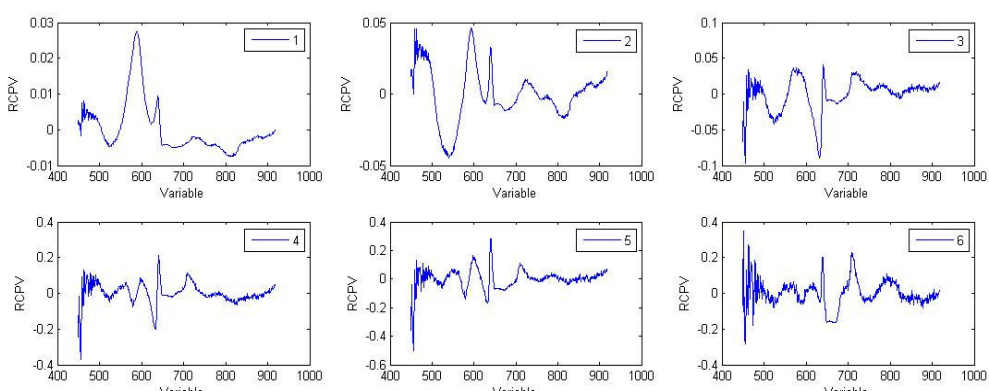
خروجی در محاسبات درنظر گرفته نمی‌شود، این امر توجیه پذیر است. یافته‌های به دست آمده از دو روش PCR و PLSR که نشان از توانایی بالاتر PLSR در پیشگویی داده‌های حاصل از آزمایش دارد با یافته‌های Frank & Friedman (1993) و Persson & Wedborg (2001) در یک راستا است. مقدار  $R^2$  به دست آمده برای خطای پیش‌بینی pH در روش‌های PLSR



شکل ۸. نمودار مشارکت نسبی طول موج برای پیشگویی شاخص HU با روش PLSR برای ۶ مؤلفه اصلی

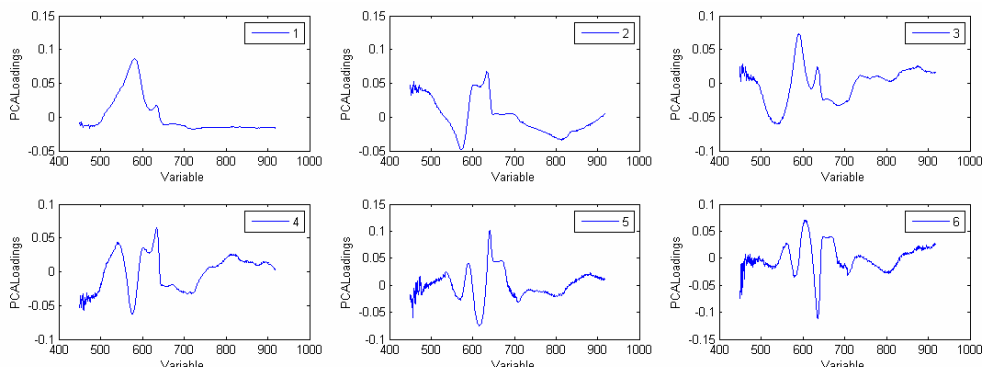


شکل ۹. نمودار مشارکت نسبی طول موج برای پیشگویی ضریب زردہ با روش PLSR برای ۶ مؤلفه اصلی



شکل ۱۰. نمودار مشارکت نسبی طول موج برای پیشگویی pH سفیده با روش PLSR برای ۶ مؤلفه اصلی

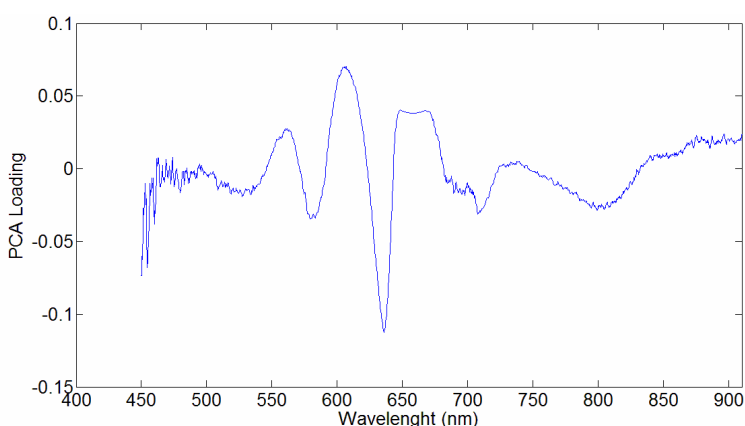
<sup>۱</sup>- بهدلیل کمبود فضای داشت ۱۱ تا ۱۲ از مخفف RCPV به جای Relative contribution to predicted value استفاده شد.



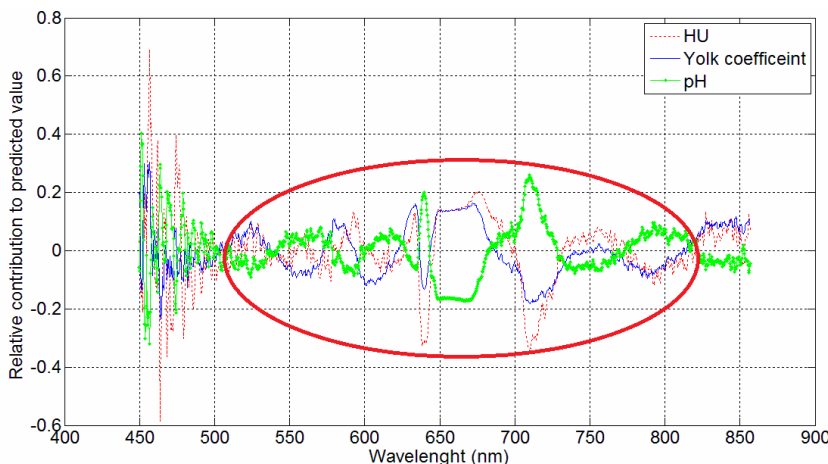
شکل ۱۱. نمودار مشارکت نسبی طول موج برای پیشگویی با روش PCR برای ۶ مؤلفه اصلی

مذکور نمودار رسم شده یکسان است. برای بررسی دقیق نمودارها مؤثرترین طول موج در HU، pH، YC، و ۳ شاخص مذکور در شکل ۱۳ ترسیم گردیدند. شایان ذکر است که نمودار ترسیم شده فقط برای ۶ مؤلفه اصلی است.

شکل های ۸ تا ۱۰ برای مشخص کردن مؤثرترین طیف در پیشگویی پارامترهای HU و ضریب زرد و pH برای اولین تا ششمین مؤلفه اصلی با روش PLSR به دست آمد و ترسیم شدند. همان طور که پیش تر اشاره شد در روش PCR خروجی دراستخراج مؤلفه ها بی اثر است از این رو برای هر ۳ پارامتر

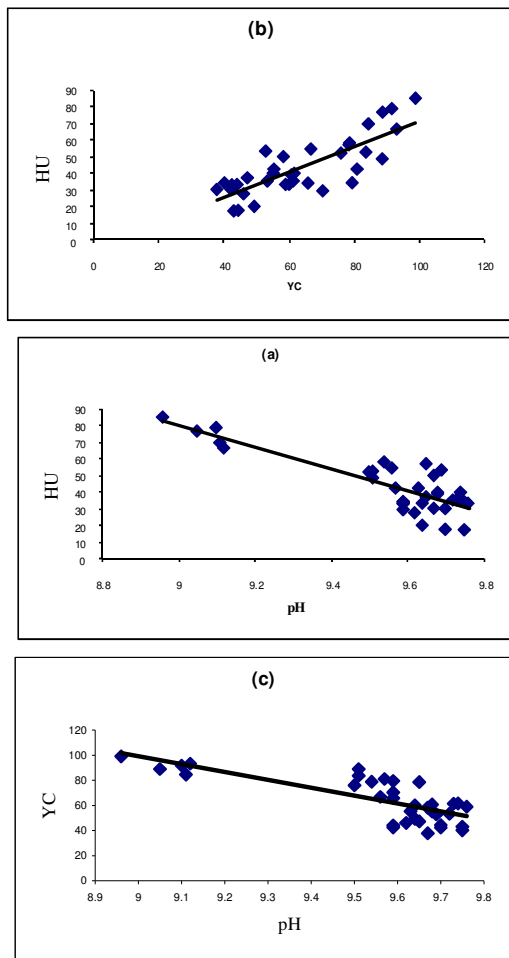


شکل ۱۲. نمودار بارگذاری ۶ مؤلفه اصلی بر حسب طول موج به روش PCR



شکل ۱۳. نمودار مشارکت نسبی طول موج برای پیشگویی HU و ضریب زرد و pH با روش PLSR

نایپیدار می‌شود و سبب نازکشدن سفیده و دربی آن کاهش HU می‌شود (Robinson & Monsey, 1972). این ضریب میان pH و YC کمتر می‌شود و به مقدار ۰/۷۴-۰/۷۶ کاهش می‌یابد. ازسوی دیگر، برخلاف انتظار ترسیم HU بر حسب pH این همبستگی بالا را نشان نمی‌دهد (شکل ۱۴ و رابطه‌های ۴، ۵، ۶).



شکل ۱۴. تغییرات HU با YC (a)، pH با HU (b)، و pH با YC (c) بر حسب

$$Y(a) = -65.20x + 666.7 \quad (R^2 = 0.70) \quad (رابطه ۴)$$

$$Y(b) = 0.76x - 5.19 \quad (R^2 = 0.65) \quad (رابطه ۵)$$

$$Y(c) = -62.91x + 665.4 \quad (R^2 = 0.58) \quad (رابطه ۶)$$

محور X در رابطه‌های ۴، ۵، و ۶ به ترتیب pH، YC، pH، و pH است.

#### طبقه‌بندی تخمرغ‌ها براساس تغییرات pH

باتوجه به اینکه پژوهشگران قبلی، pH را پارامتر مؤثری به عنوان شاخصی برای کیفیت سفیده معرفی می‌کنند، به بررسی و طبقه‌بندی آن پرداخته می‌شود. باتوجه به اینکه در pH زرده

مطابق شکل‌های ۱۲ و ۱۳ در بازه ۴۰۰-۵۰۰ nm تغییرات در طول موج تأثیری بر روند افزایش پارامترهای بررسی شده نداشت. روند تأثیرگذاری در طول موج از ۵۱۲ nm شروع و تا حدود طول موج ۸۲۰ nm ادامه می‌یابد. این مسئله نشان می‌دهد که بیشترین اطلاعات در بازه ۵۱۰-۸۲۰ nm قرار دارند. در پژوهش Liu et al. (2007) بیشترین تغییرات در ناحیه طیفی ۴۰۰-۵۲۰ nm مشاهده شد. در این ناحیه با افزایش انبارمانی نور عبوری از تخمرغ کاهش داشته و ارتباط بالای میان طیف عبوری با HU مشاهده شده است. اما این نکته نیز شایان ذکر است که این پژوهش، در بازه طیفی محدود ۴۰۰-۵۸۰ nm انجام پذیرفته است. در ضمن، واکنش قهقهه‌ای‌شنده نیز بر طیف عبوری از تخمرغ تأثیر می‌گذارد. این واکنش که به عنوان شاخص زوال است سبب تولید ملانوئیدنس<sup>۱</sup> قهقهه‌ای می‌شود که در ناحیه ۶۰۰-۷۰۰ nm بیشترین جذب را دارد (Burley & Vadehra, 1989). این نکته حاکی از این مسئله است که ناحیه به دست آمده در پژوهش حاضر ارتباط بالاتری با شیمی زوال در مقایسه با تحقیق Liu et al. (2007) دارد. پیک‌های قرارگرفته در ناحیه بالاتر از ۷۵۰ nm (Matcher et al., 1994) به مشارکت آب (پیوند O-H) است. در این ناحیه تشابه دو نمودار HU و ضریب زرده بسیار شایان توجه است. در ضمن دو نمودار ذکر شده با pH نیز دارای روند مشابهی هستند، با این تفاوت که نمودار pH قرینه دو نمودار HU و YC است. با نگاهی به ماتریس ضرایب همبستگی<sup>۲</sup> سه نمودار این مسئله بیشتر واضح می‌گردد (شکل ۱۴).

(رابطه ۳)

	HU	YC	pH
correlation coefficient =	1	0.82	-0.89
	YC	1	-0.74
	pH	-0.89	1

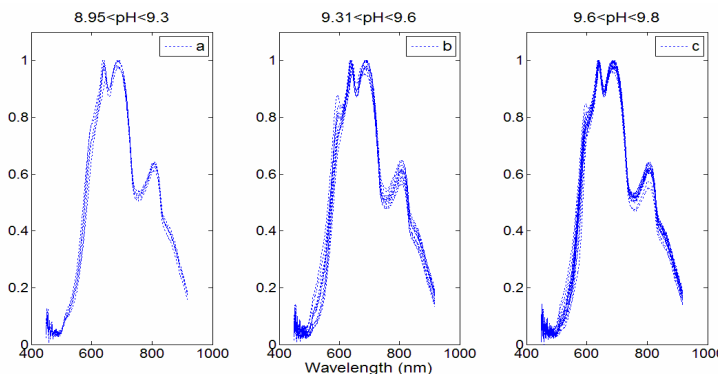
مطابق ماتریس ضرایب همبستگی<sup>۳</sup> مشخص می‌گردد که میان HU و ضریب زرده همبستگی بالای وجود دارد (۰/۸۲) ولی این ضریب میان HU و pH بالاتر است که حاکی از ارتباط بیشتر این دو پارامتر با یکدیگر است. دلیل وجود علامت منفی هم این است که با افزایش انبارمانی میزان HU کاهش می‌یابد، در حالی که pH افزایش می‌یابد. دلیل این پدیده آن است که با افزایش pH در طول انبارمانی کمپلکس ovomucin-lysozyme

1. melanoidins

2. correlation coefficient

(Kemps *et al.*, 2006) است که در چند روز نخست انبارداری روی می‌دهد. این پدیده در پژوهش حاضر به‌طور کامل مشاهده شد، زیرا pH نمونه‌ها بالاً‌افاصله بعداز تخم‌گذاری در کمترین حالت ۸/۹۵ به‌دست آمد و تا ۱۹ روز بعد از انبارمانی به ۹/۷۷ افزایش یافت. با توجه به جدول ۲ pH به ۳ گروه ۲ تقسیم‌بندی گردید و برنامه‌ای براین اساس تدوین و به طبقه‌بندی طیف‌های‌با توجه به ۳ بازه مذکور پرداخته شد (شکل ۱۵).

تغییر معنی‌داری مشاهده نشد، فقط به pH سفیده پرداخته می‌شود. در پژوهش‌ها گزارش شده است که pH تخم‌مرغ در زمان تخم‌گذاری حدود ۷/۶ است و در هنگام انبارداری تا حدود ۹/۵ افزایش می‌یابد که البته این تغییرات با گذشت زمان ثابت شده است و یا حتی بعد از یک دوره انبارداری طولانی، اندکی کاهش می‌یابد (Lapao *et al.*, 1999). همچین میانگین تغییرات pH سفیده در کمترین حالت بین ۷/۵ تا ۸/۵



شکل ۱۵. دسته‌بندی تخم‌مرغ بر حسب pH به ۳ گروه تخم‌مرغ با کیفیت (a)، کم کیفیت (b)، و بی کیفیت (c)

- ضریب زرده شاخص مناسبی برای بیان کیفیت تخم‌مرغ است؛
- pH سفیده، ارتفاع زرده، شاخص‌های HU و YC به صورت معنی‌داری در طول زمان تغییر می‌کنند ( $P<0.05$ ). درنتیجه این پارامترها را می‌توان به‌طور مؤثر در بررسی‌های غیرمخرب تازگی تخم‌مرغ استفاده کرد؛
- HU و YC تأثیرپذیرترین شاخص در انبارمانی تخم‌مرغ به‌شمار می‌آیند؛
- مؤلفه اصلی داده‌های طیفی، بیش از ۹۵ درصد واریانس را در خود جای می‌دهد؛
- میزان پراکندگی داده‌ها در روش PCR از روش PLSR بیشتر است که این پراکندگی حاکی از ناتوانایی روش PCR در پیشگویی دقیق روند تغییرات پارامترهاست؛
- در ناحیه طیف‌سنجی UV-IR، مؤثرترین طول موج بر پارامترهای مخرب از ۵۱۰ nm شروع شد و تا حدود طول موج ۸۲۰ nm ادامه می‌یابد.

## REFERENCES

- Anton M., Martinet, V., Dalgalarondo, M., Beaumal, V., David-Briand, E., & Rabesona, H. (2003). Chemical and structural characterization of low-density lipoproteins purified from hen egg yolk. *Food Chem.*, 83, 175–83
- AOAC (1996). *Official methods of analysis*. Washington, DC: Association of Official Analytical Chemists.
- Ariana, D. P., Shrestha, B. P., & Guyer, D. E. (2006). Integrating reflectance and fluorescence imaging

مطابق شکل ۱۵ گروه ۱ که دارای کمترین میزان pH بود تخم‌مرغ با کیفیت، گروه ۲ با میانه pH کم کیفیت، و در پایان گروه ۳ با pH بالا تخم‌مرغ بی کیفیت خوانده شد. از میان کل نمونه‌ها ۱۴ درصد آن در گروه اول، ۳۱ درصد در گروه دوم، و ۵۴ درصد آن در گروه سوم جای داشتند. شایان ذکر است که فقط درصد آن در گروه سوم جای داشتند. این مسئله نشان می‌دهد که در دمای ۲۳–۳۷°C و رطوبت ۲۵ درصد بعد از گذشت ۴ روز، pH شدیداً افزایش می‌یابد و این امر سبب کاهش کیفیت تخم‌مرغ‌ها می‌شود.

## جمع‌بندی

- انبارمانی تخم‌مرغ‌ها در شرایط محیط در تابستان (در دمای  $30 \pm 7^\circ\text{C}$  و رطوبت  $40 \pm 25\%$  درصد) توصیه نمی‌شود و تخم‌مرغ‌ها باید به منظور کاهش سرعت زوال در یخچال نگهداری شوند؛

- for apple disorder classification. *Comput. Electron. Agric.*, 50, 148–161.
- Bamelis, F. (2003). *Non invasive assessment of eggshell conductance and different developmental stages during incubation of eggs*. PhD thesis, No. 587, FLTWB, KU Leuven.
- Burley, R., & Vadehra, D.V. (1989). *The albumen: chemistry*, in *The Avian Egg*. Chemistry and Biology. Wiley, New York, pp. 65–128

- Campo, J. L., Gil, M. G., Munoz, I., & Alonso, M. (2000). Effects of breed, hen age and egg storage on the indirect prediction of the albumen quality, *Arch Geflugelkd*, 64, 109–114.
- Dhanoa, M. S., Lister, S. J., Sanderson, R., & Barnes, R. J. (1994). The link between Multiplicative Scatter Correction (MSC) and Standard Normal Variate (SNV) transformations of NIR spectra. *Journal of Near Infrared Spectroscopy*, 2, 43-47.
- Dutta, R., Hines, E. L., Gardner J. W., Udrea, D. D. & Boilot, P. (2003). Non-destructive egg freshness determination: an electronic nose based approach. *Measurement Science Technology*, 14, 190–198.
- Frank, I., & Friedman, J. (1993). A statistical view of some chemometrics regression tools, *Technometrics*, 35, 109-135.
- Karoui, R., Kemps, B., Bamelis, F., De Ketelaere, B., Mertens, K., Schoonheydt, R., Decuyper, E., & Baerdemaeker, J. D. (2006a). Development of a rapid method based on front face fluorescence spectroscopy for the monitoring of egg freshness: 1-evolution of thick and thin albumens. *European Food Research and Technology*, 223, 303–312.
- Karoui, R., Kemps, B., Bamelis, F., De Ketelaere, B., Mertens, K., Schoonheydt, R., Decuyper, E., & De Baerdemaeker, J. (2006b). Development of a rapid method based on front face fluorescence spectroscopy for the monitoring of egg freshness: 2-evolution of yolk. *European Food Research and Technology*, 223, 180–188.
- Haykin, S. (1999). Neural Networks a Comprehensive Foundation. Prentice-Hall, Inc.
- Heath, J. L. (1975). Investigation of Changes in Yolk Moisture. *Poultry Science*, 54, 2007–2014.
- Hu, H. Y., & Hwang, J. N. (2001). *Handbook of neural network signal processing*. CRC Press LLC.
- Huang, A., Li, G., Fu, F., & Fei, B. (2008). Use of Visible and Near Infrared Spectroscopy to Predict Klason Lignin Content of Bamboo, Chinese Fir, Paulownia, and Poplar. *Journal of Wood Chemistry and Technology*, 28(3), 194-206
- Kemps, B., Bamelis, F., De Ketelaere, B., Mertens, K., Tona, K., Decuyper, E., G De Baerdemaeker, J. (2006). Visible transmission spectroscopy for the assessment of egg freshness. *Journal of the Science of Food and Agriculture*, 86, 1399–1406.
- Lapão, C., Gama, L. T., & Chaveiro Soares, M. (1999). Effects of broiler breeder age and length of egg storage on albumen characteristics and hatchability. *Poultry Science*, 78, 640-645.
- Lastinger, A. W., & McLendon, B. D. (1976). Inspection of light transmission as a measure of egg fertility. *ASAE Paper*. No: 76- 3032.
- Lendasse, A., Wertz, V., & Verleysen, M. (2003). Model Selection with Cross-Validations and Bootstraps – Application to Time Series Prediction with RBFN Models. *Artificial Neural Networks and Neural Information Processing — ICANN/ICONIP 2003*, Istanbul, Turkey, 573–580.
- Liu, Y., Ying, Y., Ouyang, A., & Li, Y. (2007). Measurement of internal quality in chicken eggs using visible transmittance spectroscopy technology. *Food Control*, 18, 18–22.
- Lu, R., & Peng, Y. (2006). Hyperspectral scattering for assessing peach fruit firmness. *Biosyst. Eng.* 96, 161–171.
- Matcher, S. J., Cope, M., Delpy, D.T. ( 1994 ). Use of the water absorption spectrum to quantify tissue chromophore concentration changes in near infrared spectroscopy. *Physical Medical Biology Journal*, 39 , 177 – 196.
- McGlone, V.A., Jordan, R. B., & Martinson, P. J. (2002). Vis/NIR estimation at harvest of pre- and post-storage quality indices for “Royal Gala” apple. *Postharvest Biology and Technology*, 25, 135-44.
- Moons, E., Sinnaeve, G., & Dardenne, P. (2000). Nondestructive visible and NIR spectroscopy measurement for determination of apple internal quality. *Acta Hort.* 517, 441–448.
- Narushin, V. G. (1997). Non-destructive measurements of egg parameters and quality characteristics. *World's Poult. Sci. J.*, 53, 141–153
- Norris, K. H. (1996). History of NIR, *Journal of Near Infrared Spectroscopy.*, 4, 31–37.
- Osborne, B.G., Fearn, T., & Hindle, P. H. (1993). Near infrared calibration II. *In”Practical NIR spectroscopy with applications in food and beverage analysis”*. (DDavid Browning ed.). Harlow: Longman Scientific and Technical.
- Park, B., Abbott, J. A., Lee, K. J., Choi, C. H., & Choi, K. H. (2003). Near-infrared diffuse reflectance for quantitative and qualitative measurement of soluble solids and firmness of Delicious and Gala apples. *Trans. ASAE*, 46, 1721–1731.
- Persson, T., & Wedborg, M. (2001). Multivariate evaluation of the fluorescence of aquatic organic matter. *Analytica Chimica Acta.*, 434, 179–192.
- Robinson, D. S., & Monsey, J. B. (1972). Change in the composition of ovomucin during liquefaction of thick egg white. *Journal of the Science of Food and Agriculture*, 23, 29–38.
- Rossi, M., Casiraghi, P., Primavesi, L., Pompei, C., & Hidalgo, A. (2009). Functional properties of pasteurised liquid whole egg products as affected by the hygienic quality of the raw eggs. *LWT - Food Science and Technology*, 1–6.
- Schmilovitch, Z., Hoffman, A., Egozi, H., & Klein, E. (2002). Determination of egg freshness by NNIRS (near-near infrared spectroscopy), presented at EurAgEng, Budapest, paper No. 02-AP-023.
- Schwagele, F., Poser, R., & Krockel, L. (2001). Application of low-resolution NMR spectroscopy of intact eggs – measurement of quality determining physical characteristics, *Fleischwirtschaft*, 81, 103–106
- Sekeroglu, A., & Altuntas, E. (2009). Effects of egg weight on egg quality characteristics. *J. Sci. Food Agric.*, 89, 379–383
- Seregely, Z., Farkas, J., Tuboly, E., & Dalmadi, I. (2006). Investigating the properties of egg white pasteurised by ultra-high hydrostatic pressure and gamma irradiation by evaluating their NIR

- spectra and chemosensor array sensor signal responses using different methods of qualitative analysis. *Chemometrics and Intelligent Laboratory Systems*, 82, 1–2 (special issue).
- Tsarenko, P. P. (1973). Apparatus for determination of egg quality. USSR Patent 390- 439
- Wang, W., & Paliwal, J. (2007). Near-infrared spectroscopy and imaging in food quality and safety. *Sens. & Instrumen. Food Qual.*, 1, 193–207.
- Williams, P. C., & Sobering, D. C. (1993). Comparison of commercial near infrared transmittance and reflectance instruments for the analysis of whole grains and seeds. *Journal of Near Infrared Spectroscopy*, 1, 25–33.
- Williams, P., & Norris, K. (2001). Near infrared technology in the agricultural and food industries. Saint Paul, USA: ACCC.
- Xiaobo, Z., Jiewen, Z., Xingyi, H., & Yanxiao, L. (2007). Use of FT-NIR spectrometry in non-invasive measurements of soluble solid contents (SSC) of 'Fuji' apple based on different PLS models. *Chemometrics and Intelligent Laboratory Systems*, 87, 43–51